



## بررسی روش ماشین بردار پشتیبان و الگوریتم ژنتیک جهت شناسایی عوارض منطقه شهری با استفاده از تلفیق تصویر نوری و داده لیدار

نگین کمالی فر<sup>۱</sup>، علی محمدزاده<sup>۲\*</sup>، علی حسینی نوهاحمدآبادیان<sup>۳</sup>

- ۱- دانشجوی ارشد سیستم‌آذوق- دانشکده مهندسی نقشهبرداری (ژئودزی و زئوماتیک)- دانشگاه صنعتی خواجه نصیرالدین طوسی
- ۲- دانشیار گروه سنجش از دور و فتوگرامتری- دانشکده مهندسی نقشهبرداری (ژئودزی و زئوماتیک)- دانشگاه صنعتی خواجه نصیرالدین طوسی
- ۳- استادیار گروه سنجش از دور و فتوگرامتری- دانشکده مهندسی نقشهبرداری (ژئودزی و زئوماتیک)- دانشگاه صنعتی خواجه نصیرالدین طوسی

### چکیده:

در این طبقه‌بندی و شناسایی عوارض شهری از تصاویر هوایی و ماهواره‌ای در سال‌های اخیر یک بحث تحقیقاتی فعال در حوزه سنجش از دور است. الگوریتم‌های طبقه‌بندی عوارض، در مناطق پیچیده شهری مانند منطقه مورد مطالعه، با مشکلات بسیاری مواجه می‌باشند. این مقاله در دو حالت کلی بررسی شده و در هر حالت طبقه‌بندی بدون / با استفاده از الگوریتم ژنتیک اجرا شده است. در این مقاله هدف بررسی دقت‌های الگوریتم ماشین بردار پشتیبان در حالت‌های مذکور می‌باشد. در حالت اول، تنها از ویژگی‌های بافت تصویر نوری و طیف آن استفاده شده است. در حالت دوم، ویژگی‌های لیدار به ویژگی‌های قبیل اضافه شده است. همچین در این تحقیق تأثیر الگوریتم ژنتیک در بیشتر شدن دقت شناسایی عوارض شهری در هر دو حالت مذکور بررسی شده است. سپس نتایج حاصل از هر روش با داده مرجع، مقایسه و ارزیابی می‌شود. از مقایسه ضرایب کاپا در هر دو حالت بیان شده در فوق نشان داده است که روش ماشین بردار پشتیبان تلفیق شده با الگوریتم ژنتیک نتایج بهتری نسبت به دیگر حالت‌ها داشته است.

**واژه‌های کلیدی:** طبقه‌بندی کننده ماشین بردار پشتیبان، الگوریتم ژنتیک، تصویر نوری، داده لیدار



## ۱- مقدمه

کشورها در حال توسعه‌اند و برای توسعه کشورها نیاز به اطلاعات مکان مرجع و به روز داریم و این یک رجحان بزرگ به شمار می‌آید که به تصمیم‌گیری درست و زندگی بهتر در جامعه انسانی می‌انجامد. سنجش‌از دور نیز منبع غنی تولید اطلاعات مکانی و نقشه‌های مناطق شهری است. نقشه‌ها بایستی از تصاویر ماهواره‌ای، هوایی و دیگر داده‌ها استخراج شود. امروزه روش‌های سنتی و کاربر محور جهت تولید این نوع اطلاعات جوابگو نیست و روش‌های خودکار و عاری از دخالت انسان توسعه داده می‌شود و الگوریتم‌های یادگیری و روش‌های جدیدی پیشنهاد و بهبود داده می‌شوند. الگوریتم‌های یادگیری ماشینی، طبقه‌بندی داده‌ها به کلاس‌های اطلاعاتی را بر عهده دارند. یکی از الگوریتم‌های یادگیری ماشینی متداول طبقه‌بندی ماشین بردار پشتیبان (SVM<sup>۱</sup>) است. از معایب آن می‌توان به داده آموزشی فراوان و صحیح، محاسبات بسیار، تعیین بهینه پارامترها و دقت پایین در استخراج اطلاعات اشاره نمود. طبقه‌بندی تصاویر، اطلاعات متفاوتی از تصویر را در اختیار قرار داده است.

در مطالعات مربوط به تصاویر نوری روش‌هایی ذکر شده است که وجود نویز، سایه و عوارض غیر مرتبط و همچنین خصوصیات رادیومتریکی مشترک بین راه، ساختمان و پارکینگ، استخراج راه را در مناطق شهری بسیار دشوار می‌کند. به همین منظور مطالعات زیادی به سمت استفاده از لیدار در این مناطق صورت گرفته است. خصوصیات لیدار در اندازه گیری دقیق ارتفاع و دامنه‌ای که تحت تأثیر عوامل اتمسفری و رادیومتریکی همچون سایه قرار نمی‌گیرد، راه را برای رسیدن به دقت مطلوب هموار می‌کنند. با وجود حضور روش‌های مورفولوژی به عنوان بخشی از متدهای استخراج راه از لیدار، بیشتر این متدها در بخش کلاسه‌بندی، خوشبندی و قطعه‌بندی متمرکز شده‌اند. آ.س. آنتوناراکیس و همکاران در سال ۲۰۰۸ روش طبقه‌بندی نظارت شده‌ای را ارائه دادند که بر اساس معیار فرکانس توزیع نقاط جهت اختلاف میان انواع پوشش زمین استوار شده است [۱]. صلاح و همکاران در سال ۲۰۰۹ استخراج ویژگی از داده MSS و لیدار را توسعه و ارائه داده‌اند. آن‌ها ابر نقاط لیدار فیلتر شده را برای تولید DTM با استفاده از معادله مرتبه اول خطی تولید، سپس<sup>۲</sup> DSM و nDSM<sup>۳</sup> تولید نمودند. پس از آن در کل ۲۲ ویژگی از ویژگی‌های مجزا از تصاویر هوایی، تصویر شدت لیدار، DSM و nDSM تولید کردند. ویژگی‌های بدست‌آمده عبارتند از ماتریس همرخداد درجه خاکستری (GLCM)، شاخص نرمال تفاوت پوشش گیاهی (NDVI<sup>۴</sup>) و شبیه سرانجام از SOM<sup>۵</sup> جهت شناسایی ساختمان‌ها، درختان، راه‌ها و علف‌ها از تصویر هوایی، داده لیدار و ویژگی‌های تولید شده استفاده شده بود [۲]. در گونگ و ژانگ در سال ۲۰۱۰، روش k-means را به صورت غیر نظارتی بر دامنه‌ی تصویر لیدار انجام دادند. اگرچه مطالعه‌ی آن‌ها نشان داد که این روش برای جداسازی راه از چمن و مناطق روستاوی کاربردی است [۳]. صمدزادگان و همکارانش در سال ۲۰۱۰ جهت طبقه‌بندی داده لیدار ویژگی‌هایی را از ماتریس همرخداد<sup>۶</sup> درجه خاکستری (GLCM<sup>۷</sup>) استخراج کرده و با SVM طبقه‌بندی کردند [۴]. محدوده شهری با دقت بالا به کلاس‌های ساختمان، درخت و زمین طبقه‌بندی گردیده است.

وانگ و ژانگ در سال ۲۰۱۱ با استفاده از رنگ تصاویر هوایی و تلفیق آن با ارتفاع لیدار راه را برای کلاسه‌بندی بسیار متمایزتر کردند [۵]. ماشین بردار پشتیبان (SVM) نیز به عنوان یکی از جدیدترین روش‌های یادگیری ماشین در سنجش‌از دور به شمار می‌آید که در بسیاری از مطالعات طبقه‌بندی پوشش اراضی، نتایج موفقیت‌آمیزی تولید کرده است [۹-۶]. در مطالعات قبلی، طبقه‌بندی کننده‌های مبتنی بر SVM، بسیار دقیق‌تر از روش‌های دیگر عمل کرده و

<sup>1</sup> Support Vector Machine

<sup>2</sup> Digital Surface Model

<sup>3</sup> Normalized Digital Surface Model

<sup>4</sup> Normalized Difference Vegetation Index

<sup>5</sup> Self-Organizing Map

<sup>6</sup> Co-occurrence

<sup>7</sup> Gray Level Co-occurrence Matrix



یا حداقل نتایج شبیه به روش‌های دیگر ارائه نموده‌اند. به علت عملکرد رضایت‌بخش این الگوریتم محققان بسیاری مشتاق به استفاده از این الگوریتم هستند. در تحقیق مویستاکیدیس و همکارانش (۲۰۱۲)، یک درخت تصمیم‌گیری فازی مبتنی بر SVM جهت طبقه‌بندی پوشش اراضی نواحی شهری و جنگلی با استفاده از تصاویر چند طیفی / ابر طیفی باقدرت تفکیک مکانی بالا استفاده شده است [۱۰]. هدف این مقاله مقایسه بین طبقه‌بندی کننده SVM و SVM-GA جهت طبقه‌بندی منطقه شهری، در حالت اول تنها با استفاده از یکسری ویژگی‌های بافتی و تصویر نوری و در حالت دوم تأثیر ویژگی‌های لیدار با افزودن به ویژگی‌های حالت اول، است. ساختار بدین نحو است که در بخش بعد توضیح مختصری از مبانی تحقیق بیان می‌شود و در بخش ۳ این روش‌ها بر روی منطقه Vaihingen کشور آلمان پیاده‌سازی شده است. در بخش ۴ نتایج با هم مقایسه و ارزیابی شده است.

## ۲- مبانی نظری

تصویر هوایی و داده لیدار هم مرجع، مجموعه داده مورد استفاده در این تحقیق است. ویژگی‌ها و الگوریتم‌های به کار رفته به‌طور مختصر در زیر توضیح داده شده است.

### ۲-۱- ویژگی‌های استخراج شده از داده لیدار و تصویر هوایی

ویژگی لیدار جزء شاخص‌های ارتفاعی به‌حساب می‌آید که شامل بازگشت اول و آخر یا ویژگی تولیدشده مدل رقومی نرم‌الایز شده سطح زمین با استفاده از داده‌های بازگشت است که در تحقیقات با حدآستانه‌گذاری راه (عوارض مسطح) یا ساختمان (عوارض مرتفع) را از دیگر عوارض شناسایی می‌کند. ویژگی لایپلاس، شبیب و زبری هم مناسب است. همچنین ویژگی‌های بافت و طیف نیز از تصویر هوایی تولید و استفاده شده است. ویژگی‌های بافت از ماتریس GLCM تولید شده‌اند.

### ۲-۲- طبقه‌بندی به روش ماشین بردار پشتیبان

تنها نمونه‌های آموزشی نزدیک به مرز طبقاتی مورد توجه هستند، SVM با داده چند منبعی (شامل داده لیدار) به‌خوبی مشکلات طبقه‌بندی را حتی با مجموعه آموزشی کم نشان داده است [۱۱-۱۳]. فرمول اصلی SVM در سال ۱۹۷۹ توسط وینیک<sup>۸</sup> و با هدف ساخت یک ابرصفحه تفکیکی مطلوب ارائه شده بود که مجموعه داده‌ها را به تعداد از پیش تعریف شده کلاس‌های مجزا با استفاده از یک زیرمجموعه نمونه آموزشی به عنوان تفکیک بردارهای پشتیبان اعمال می‌کند. در مرحله یادگیری، طبقه‌بندی کننده با حداقل حاشیه<sup>۹</sup> که توسط بردارهای پشتیبان تعریف شده، در فضای ویژگی چندبعدی برای طبقه‌بندی نمونه‌های آموزشی و سپس طبقه‌بندی نمونه‌های آزمایشی به‌طور تکراری جستجو می‌کند. حاشیه به فاصله بین ابرصفحه تا نمونه نزدیک به آن در هر دو طرف اشاره دارد. ابرصفحه مطلوب تفکیکی جهت به دست آوردن بزرگ‌ترین حاشیه است. از جنبه‌های مهم SVM این است که اغلب تعداد بردارهای پشتیبان کوچک‌تر از تعداد نمونه‌های آموزشی در دسترس است. برخلاف دیگر طبقه‌بندی کننده‌ها که به‌طور مستقیم یک برچسب کلاس به عنوان خروجی نهایی (به عنوان مثال، درخت تصمیم‌گیری) و احتمالات محاسباتی از عضویت در کلاس (به عنوان مثال، MLC<sup>۱۰</sup>) را ارائه می‌دهد؛ SVM فاصله هر بردار ورودی تا ابرصفحه بهینه را ارائه می‌دهد [۱۴].

<sup>8</sup> Vapnik

<sup>9</sup> Margin

<sup>10</sup> Maximum Likelihood Classification



### ۲-۳- الگوریتم ژنتیک

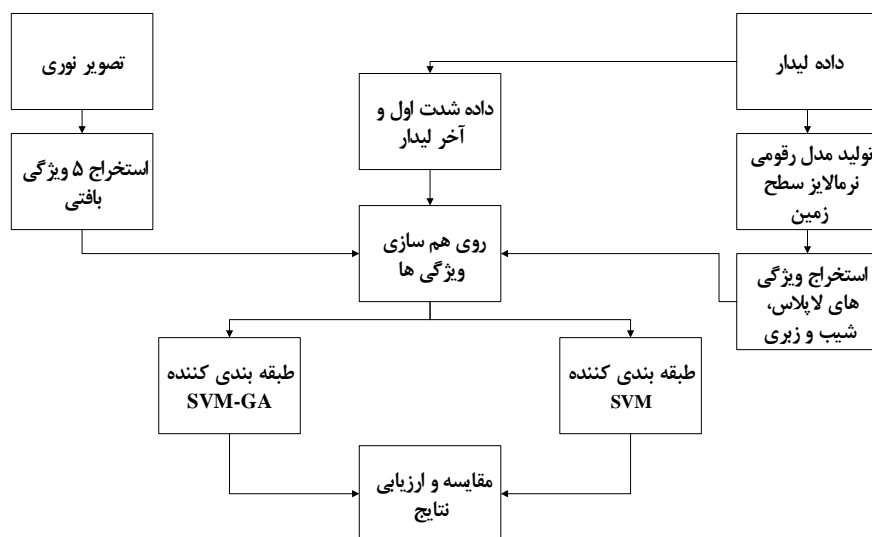
الگوریتم ژنتیک<sup>۱۱</sup> متعلق به خانواده‌های از الگوریتم‌های جستجو است که از ایده‌های بنیادین داروین و اصل تکامل طبیعی الهام گرفته است. الگوریتم ژنتیک که به عنوان یکی از روش‌های تصادفی بهینه‌یابی شناخته شده است و از ویژگی‌ها و مزایای این الگوریتم می‌توان به این اشاره کرد که الگوریتم ژنتیک یک راه حل بهینه را با جستجو در میان تمام راه حل‌های ممکن ارائه می‌دهد و به همین دلیل برای فضاهای بزرگ مناسب است همچنین نیاز به اطلاعات زیادی در مورد تابعی که باید بهینه شود ندارد. الگوریتم ژنتیک یک روش جستجوی عمومی است زیرا که به طور موازی نقاط زیادی را در فضای جستجو (تمام راه حل‌های ممکن) کاوش می‌کند به همین دلیل است که در این روش از بهینه محلی جلوگیری می‌شود.

### ۳- پیاده‌سازی

در این بخش فلوچارت کلی تحقیق، آماده‌سازی داده‌ها شامل پیش‌پردازش و تولید ویژگی‌هایی از تصویر نوری و داده لیدار، داده آموزشی و طبقه‌بندی انجام گرفته در حالات مختلف توضیح داده شده است.

### ۳-۱- فلوچارت کلی تحقیق

الگوریتم پیشنهاد شده مطابق شکل ۱ اجرا شده است. ابتدا آماده‌سازی داده‌های لیدار و تولید لایه‌های ورودی از هر دو منبع، شامل مدل رقومی نرم‌الایز شده سطح زمین، شبیب، لایاس و زبری و همچنین ۵ ویژگی بافتی از تصویر نوری (میانگین، واریانس، تجانس، همگنی و عدم شباهت) برای ورود به مرحله طبقه‌بندی انجام می‌شود. در ادامه، طبقه‌بندی به روش ماشین بردار پشتیبان برای هر دو حالت مذکور انجام می‌شود. بار دیگر همین مراحل با الگوریتم ژنتیک جهت انتخاب ویژگی‌های ورودی انجام می‌شود. دو حالت ذکر شده در واقع تاثیر اضافه شدن ویژگی‌های استخراج شده از داده لیدار بر روی نتایج را مورد بررسی قرار می‌دهد. در نهایت روش‌های ذکر شده با داده مرجع مقایسه و ارزیابی می‌شوند.



شکل ۱: فلوچارت تحقیق

### ۲-۴- آماده‌سازی داده ورودی

در این تحقیق جهت انجام تحقیقات در زمینه شناسایی عوارض شهری، از تصویر نوری و داده لیدار مربوط به منطقه Vaihingen کشور آلمان که توسط کمیسیون III و گروه کاری ۴ از جامعه بین‌المللی فتوگرامتری و سنجش از دور جهت

<sup>11</sup> Genetic Algorithm



انجام تحقیقات در زمینه استخراج عارضه و بازسازی سه بعدی ساختمان‌ها آماده شده و در اختیار محققان قرار گرفته است استفاده شده است. تصویر نوری دارای قدرت تفکیک مکانی ۸ سانتیمتر و داده لیدار دارای قدرت تفکیک مکانی ۲۵ سانتیمتر بوده است؛ اما در این تحقیق از داده هم مقیاس و هم مرجع شده با قدرت تفکیک مکانی ۲۵ سانتیمتر برای هر دو داده استفاده شده است. لازم به ذکر است که داده لیدار استفاده شده دارای فاصله و شدت برگشت اول و آخر است.

### ۳-۱- پیش‌پردازش و تولید ویژگی‌های داده لیدار

در این بخش مروری بر حذف نویز، تولید nDSM و تولید ویژگی‌های لایپلاس، شبیب و زیری شده است. به دلیل خطای ارتفاعی رخداده در داده‌های لیدار، بازگشت اول می‌تواند به اندازه خطای ارتفاعی تفاضل دو بازگشت از بازگشت آخر کوچک‌تر باشد، درنهایت نقاطی که در معادله (۱) صدق می‌کنند نویز می‌باشند [۱۵].

$$\text{LastRange} - \text{FirstRange} > th1 \quad (1)$$

مقدار ثابت  $th1$  وابسته به دقت ارتفاعی تفاضل دو بازگشت اول و آخر است. بعد از شناسایی و حذف نقاطی که نویز بودند مقادیر جدیدشان برای هر دو بازگشت از روش درون‌یابی نزدیک‌ترین همسایگی جهت حفظ پرش‌های ارتفاعی استفاده شده است و به دلیل اینکه متوسط دقت ارتفاعی داده‌های نقطه‌ای لیدار برابر ۱۵ سانتیمتر است، مقدار دقت ارتفاعی بازگشت اول و آخر داده فاصله ۱۵ سانتیمتر در نظر گرفته شده است درنتیجه مقدار خطای ارتفاعی کل تفاضل این دو بازگشت ۲۱ سانتیمتر محاسبه شده است [۱۵].

مقدار نهایی برای حد آستانه  $th1$  با استناد از خطای کل ارتفاعی بزرگ‌تر باشد که ما در این تحقیق مقدار ۳۰ سانتیمتر را در نظر گرفتیم. با در نظر گرفتن خطای ارتفاعی کل تفاضل دو بازگشت بر روی این داده‌ها ۸۱۸ نویز شناخته شده است. جهت حذف نقاط برخورده به دیوار که باعث نویز شده لازم است با دیگر داده مرحله قبل پردازش شود. به همین دلیل در ۳ جهت شبیه‌های زیاد شناسایی و حذف شده است.

### ۳-۲- تولید مدل رقومی زمین (DTM)

در این تحقیق DTM منطقه بر اساس روش Scan labeling ارتفاع یافته [۱۵] و با استفاده از تصویر فاصله بازگشت آخر تولید شده است، چراکه تعداد نقاط زمینی در بازگشت آخر می‌تواند بیشتر از تعداد نقاط زمینی در بازگشت اول باشد.تابع برچسب‌گذاری روش ارتفاع یافته در زارع، سال ۱۳۹۲ به کار گرفته شده است [۱۵]. بعد از تشخیص اولیه نقاط غیرزمینی، دوباره روش رگرسیون خطی تک‌بعدی استفاده شده در روش اصلی Scan Labeling به کار گرفته می‌شود تا نقاط غیرزمینی باقیمانده شناسایی و حذف شوند با این تفاوت که جهت تعریف شعاع همسایگی مذکور در رابطه بالا از یک کرنل با ابعاد  $3 \times 3$  استفاده شده است تا نقاط همسایه برای نقاط زمینی مشخص گردند. دلیل استفاده از کرنل در روش ارتفاع یافته استفاده از تصویر فاصله به جای اسکن‌های داده‌های لیزر اسکن هوایی است. درنهایت از انترپلاسیون نقاط زمینی به روش Cubic استفاده شده است تا DTM منطقه تولید شود [۱۵].

### ۳-۳- تولید مدل رقومی سطح نرمالایز شده (nDSM)

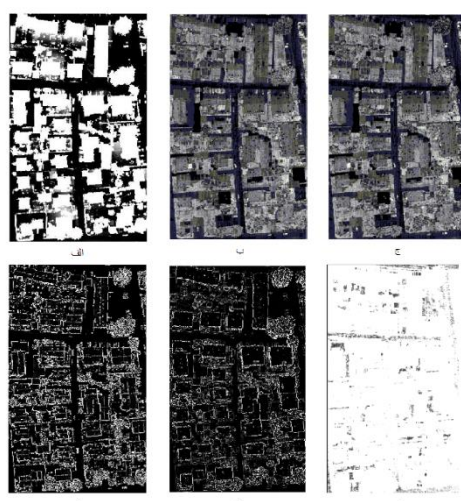
با ایجاد nDSM که از تفاضل DTM از DSM بدست می‌آید، در این مرحله یک ماسک اولیه از عوارض موجود بر زمین به دست می‌آید [۱۶, ۱۵].



#### ۴-۲-۴- ویژگی‌های شیب، لایپلاس و زبری

برای استخراج ویژگی شیب، لایپلاس و زبری بر روی nDSM کار شده است. برای ویژگی شیب، کرنلی با ابعاد  $3 \times 3$  روی nDSM قرار گرفته است و شیب‌ها در سه جهت افق و عمودی و قطری ایجاد و سپس میانگین‌گیری شده است که عدد حاصله مربوط به شیب در همان نقطه است [۱۵]. یک راه دیگر روش تشخیص لبه با درنظر گرفتن تفاوت‌ها به دست آمده است؛ به این تفاوت‌های ثانویه گفته می‌شود. برای محاسبه تفاوت ثانویه (مرکزی)، تفاوت پس‌رو از یک تفاوت پیش‌رو در نظر گرفته می‌شود.

جزیيات فیلتر مورد استفاده در زارع، سال ۱۳۹۲ و سرمدیان، سال ۱۳۹۳ آمده است [۱۶، ۱۵] و به عنوان لایپلاسین گسته شناخته شده است [۱۷]. محاسبات با اجرای فیلتر لایپلاسین بر تصویر nDSM جایگزین می‌شود. برای ایجاد ویژگی زبری باز مشابه تولید ویژگی‌های قبلی یک کرنلی با ابعاد فرد بر روی تصویر فاصله قرار می‌گیرد و تفاضل نقاط همسایه از نقطه مرکزی کرنل محاسبه می‌شود که این مقدار تفاضل حساب شده به عنوان ویژگی زبری هر نقطه در نظر گرفته شده است [۱۵].

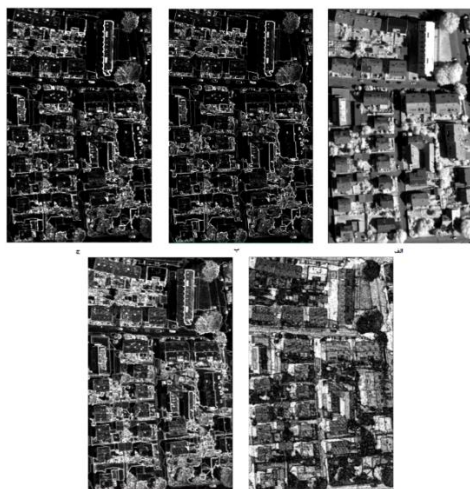


شکل ۲: الف: داده nDSM ب و ج؛ داده شدت برگشت اول

و دوم د: ویژگی شیب؛ و: ویژگی لایپلاس و: ویژگی زبری

#### ۳-۳- ویژگی‌های استخراج شده از داده نوری

ویژگی‌های استخراج شده از این تصویر نوری هوایی، ویژگی‌هایی استخراجی از ماتریس GLCM شامل میانگین، واریانس، تجانس (کنتراست)، همگنی (هموزنیتی) و عدم شباهت برای هر یک از پیکسل‌های تصویر با پنجره به ابعاد  $3 \times 3$  در چهار جهت افقی، عمودی، قطری به راست و قطری به چپ ( $۰^\circ$ ،  $۴۵^\circ$  و  $۹۰^\circ$ ) برآورد گردیده و میانگین-گیری شده است.



شکل ۳: بافت‌های استخراج شده از ماتریس GLCM الف: میانگین

ب: واریانس ج: تجانس (کنتراست) د: همگنی (هموزنیتی) ه: عدم شباهت

### ۴-۴- تولید داده آموزشی و داده مرجع

نمونه‌های آموزشی انتخاب شده باید دارای توزیع و پراکندگی یکسان باشد. نمونه‌های آموزشی از یک‌چهارم تصویر تهیه شده، در حالی که داده مرجع جهت ارزیابی از کل تصویر تهیه شده است. داده‌های آموزشی به ترتیب شامل کلاس‌های راه، سایه راه، ساختمان، درخت، چمن و ماشین است.

### ۴-۵- طبقه‌بندی

در این تحقیق طبقه‌بندی در دو حالت، طیف تصویر نوری- ویژگی‌های بافت و با استفاده از تمامی ویژگی‌های تولیدی بررسی شده‌اند و نتایج حاصل از آن‌ها برای طبقه‌بندی کننده SVM بدون انتخاب ویژگی و با انتخاب ویژگی الگوریتم ژنتیک مقایسه شده‌اند. همچنین جهت انجام طبقه‌بندی کننده SVM و SVM-GA از نرم‌افزار MATLAB R2012b استفاده شده است.

#### • حالت اول

در این حالت ابتدا لایه‌های ویژگی‌های بافتی و سه باند سبز، قرمز و مادون‌قرمز در هر سه روش نرمالایز شده است. در SVM پارامتر گاما تابع کرنل RBF برابر  $\frac{1}{2}$  و  $C\text{-factor} = 800$  ولی در SVM-GA این پارامترها خود بهینه می‌شوند. در این حالت همان‌طور که بیان شد از ویژگی‌های لیدار استفاده نشده است. نتایج به دست آمده در حالت اول مطابق جدول ۱ است. لازم به ذکر است که پارامتر گاما در الگوریتم ژنتیک  $C\text{-factor} = 578$  و  $0.0064$  باشد و باندهای منتخب از ژنتیک ۱، ۲، ۳، ۵، ۷، ۸، ۱۰، ۱۱، ۱۲، ۱۳، ۱۴، ۱۵، ۱۶، ۱۷، ۱۸ بوده است.

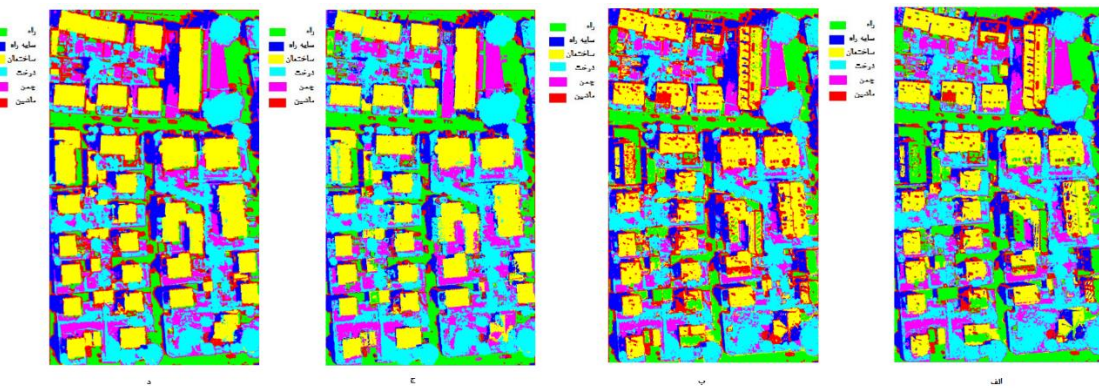
شکل ۴ الف و ب نتایج بصری حاصل در حالت اول را، تنها با تکیه‌بر ویژگی‌های بافت و طیف تصویر نوری نشان می‌دهد.



## • حالت دوم

در این مرحله ویژگی‌های تصویر نوری و داده لیدار جهت طبقه‌بندی بررسی شده است، به عبارت دیگر جهت حذف پیکسل‌های اشتباه در حالت دوم، اضافه شدن داده لیدار و ویژگی‌های آن به ویژگی‌های قبلی موردنبررسی قرار گرفته است که نتیجه حاصل در شکل زیر مشاهده می‌شود. در اینجا نیز برای SVM پارامتر گاما تابع کرنل RBF برابر  $\frac{1}{2}$  و  $C\text{-factor} = 800$  و  $C\text{-factor} = 882$  ولی در SVM-GA این پارامترها خود بهینه می‌شوند که درنهایت پارامتر گاما برابر  $0.0065$  و  $24$  انتخاب شده است. در این حالت نتایج مطابق جدول ۱ است.

شکل ۴ ج و د نتایج بصری حاصل در حالت دوم را، با دخیل کردن تمامی ویژگی‌های مطرح در این تحقیق نشان می‌دهد.



شکل ۴: از سمت راست به چپ به ترتیب الف و ب: طبقه‌بندی SVM-GA و SVM برای حالت اول ج و

د: طبقه‌بندی SVM-GA و SVM برای حالت دوم

## ۴- نتیجه‌گیری و پیشنهادات

در این بخش نتایج تحقیق آورده شده و بعد از تحلیل نتایج، نتیجه گیری صورت گرفته و نهایتاً پیشنهاداتی برای کارهای آتی ارائه شده است.

## ۴-۱- بحث و بررسی نتایج

از مقایسه جدول ۱ و نتیجه می‌شود که در طبقه‌بندی کلاس‌های عوارض شهری افزودن ویژگی‌های لیدار تأثیر مثبتی در افزایش دقت کلاس‌ها و دقت کلی داشته و همچنین با انتخاب ویژگی‌های بهینه با استفاده از الگوریتم ژنتیک دقت-ها افزوده‌تر گردیده است. دلیل دقت  $100\%$  ساختمان به دلیل ماسک عوارض غیرزمینی با حد آستانه  $1/5$  متر، که در  $nDSM$  عوارض کمتر از این مقدار حذف شده است. همچنین ماشین‌هایی که در سایه درختان قرار گرفته بودند در طبقه‌بندی نیز مشخص شده است. در حالت اول عوارض روی سقف ساختمان‌ها که از لاحاظ طیفی شبیه با ماشین بوده-اند به اشتباه در کلاس راه قرار گرفته، که با افزودن ویژگی‌های لیدار این مشکل رفع شد. همچنین به دلیل شباهت طیفی درخت و چمن در حالت اول پیکسل‌های چمن به اشتباه در کلاس درخت وارد شده‌اند که با افزودن ویژگی‌های لیدار و خصوصاً ویژگی‌های ارتفاعی نیز این مشکل رفع شد. نتیجه می‌گیریم که تصویر نوری در محل‌های با شباهت طیفی به تنها‌ی جواب مطلوب نمی‌دهد.

با توجه به تحقیق حاضر و ماهیت متفاوت تصویر نوری و داده لیدار و نقاط قوت و ضعف هر یک از این منابع در طبقه-بندی عوارض شهری، ارائه الگوریتم‌هایی با تلفیق اطلاعات و استفاده از مزایای دو منبع جهت شناسایی خودکار

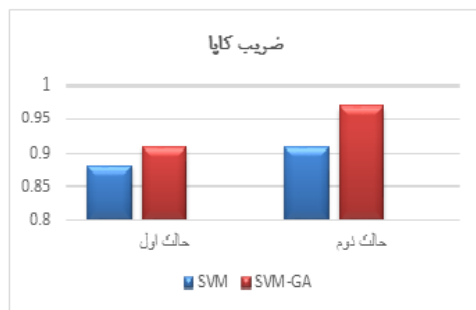
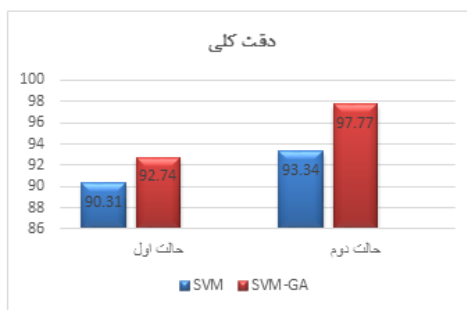


عارض، روشنی مؤثر و کارآمد به نظر می‌رسد. در این راستا استخراج ویژگی از این دو منبع و به کار گیری روش مناسب همچون الگوریتم زنتیک برای انتخاب ویژگی و تلفیق این دو منبع، به منظور رفع نواقص و افزایش دقت الگوریتم SVM در این تحقیق مورد بررسی و پیاده‌سازی قرار گرفت.

خروجی حاصل از تلفیق دو منبع از لحاظ کمی و بصری نتایج به مرائب بهتری را ارائه می‌دهد.

جدول ۱: نتایج حاصل از طبقه‌بندی در دو حالت کلی با استفاده از SVM و SVM-GA

ردیف	نام	نوع	حالات دوم						حالات اول						نام
			نام	نوع	نام	نوع	نام	نوع	نام	نوع	نام	نوع	نام	نوع	
۹۳	۰/۹۱	SVM	۸/۴۶	۷/۹۱	۹۲/۰۹	۹۱/۵۴	۱/۲۱	۲/۲۹	۹۷/۷۰	۹۸/۷۹	۰/۰۰	۱/۵۰	۱۱	۸۸/۵۰	۱/۰۰
			۳/۰۰	۳/۱۹	۹۶/۸۰	۹۷/۰۰	۱/۲۱	۱/۶۸	۹۸/۳۱	۸۴/۷۹	۱/۱۵	۱/۴۹	۲۹	۷۰/۵۰	۸۱/۲۵
			۱/۷۵	۱/۴۹	۷۰/۵۰	۸۱/۲۵	۰/۰۰	۰/۱۰	۹۶/۸۹	۹۷/۴۸	۰/۰۰	۰/۱۰	۰/۱۰	۹۶/۸۹	۰/۰۰
			۱/۲۱	۱/۲۱	۹۷/۷۰	۹۸/۷۹	۱/۲۱	۱/۲۱	۹۷/۷۰	۹۸/۷۹	۰/۰۰	۰/۰۰	۰/۰۰	۹۷/۷۰	۰/۰۰
			۰/۰۰	۰/۰۰	۹۷/۷۰	۹۸/۷۹	۰/۰۰	۰/۰۰	۹۷/۷۰	۹۸/۷۹	۰/۰۰	۰/۰۰	۰/۰۰	۹۷/۷۰	۰/۰۰
			۱/۰۰	۱/۰۰	۹۷/۷۰	۹۸/۷۹	۱/۰۰	۱/۰۰	۹۷/۷۰	۹۸/۷۹	۱/۰۰	۱/۰۰	۱/۰۰	۹۷/۷۰	۰/۰۰
۹۷	۰/۸	SVM-GA	۰/۰۰	۰/۰۰	۹۷/۷۰	۹۸/۷۹	۰/۰۰	۰/۰۰	۹۷/۷۰	۹۸/۷۹	۰/۰۰	۰/۰۰	۰/۰۰	۹۷/۷۰	۰/۰۰
			۰/۰۰	۰/۰۰	۹۷/۷۰	۹۸/۷۹	۰/۰۰	۰/۰۰	۹۷/۷۰	۹۸/۷۹	۰/۰۰	۰/۰۰	۰/۰۰	۹۷/۷۰	۰/۰۰
			۰/۰۰	۰/۰۰	۹۷/۷۰	۹۸/۷۹	۰/۰۰	۰/۰۰	۹۷/۷۰	۹۸/۷۹	۰/۰۰	۰/۰۰	۰/۰۰	۹۷/۷۰	۰/۰۰
			۰/۰۰	۰/۰۰	۹۷/۷۰	۹۸/۷۹	۰/۰۰	۰/۰۰	۹۷/۷۰	۹۸/۷۹	۰/۰۰	۰/۰۰	۰/۰۰	۹۷/۷۰	۰/۰۰
			۰/۰۰	۰/۰۰	۹۷/۷۰	۹۸/۷۹	۰/۰۰	۰/۰۰	۹۷/۷۰	۹۸/۷۹	۰/۰۰	۰/۰۰	۰/۰۰	۹۷/۷۰	۰/۰۰
			۰/۰۰	۰/۰۰	۹۷/۷۰	۹۸/۷۹	۰/۰۰	۰/۰۰	۹۷/۷۰	۹۸/۷۹	۰/۰۰	۰/۰۰	۰/۰۰	۹۷/۷۰	۰/۰۰



شکل ۵: مقایسه دقچهای کلی و ضرایب کلایا



## ۲-۴- نتیجه‌گیری

مطابق با نمودارهای ارائه شده در شکل ۵، در این تحقیق روش SVM-GA در هر دو دسته داده‌ی تصویر نوری با ویژگی‌های بافتی و استفاده از تمامی ویژگی‌ها نتایج بهتری نسبت به دو روش دیگر و همچنین دقت SVM-GA در هنگام استفاده از اطلاعات هر دو داده بیشترین سطح خود را داشته است. در روش SVM-GA مقدار ضربی کاپا در حالت اول و در مقایسه با روش‌های دیگر ۰/۹۱ است و در حالت دوم برای SVM-GA، با افزودن ویژگی‌های لیدار ضربی کاپا به مقدار ۰/۹۷ رسید. همان‌طور که گفته شد یکی از دلایل مهم آن، بهینه بودن راه حل در الگوریتم ژنتیک است؛ بنابراین ویژگی‌های لیدار در شناسایی عوارض شهری نقش مهمی را ایفا می‌کنند. از طرفی، در این تحقیق، روش SVM به دلیل استفاده از الگوریتم ژنتیک در انتخاب بهینه ویژگی‌ها جهت ورودی روش SVM از روش SVM-GA بهتر عمل کرده است.

## ۳-۴- پیشنهادات

در انتها پیشنهاد می‌شود روش جنگل‌های تصادفی را نیز روی این داده بررسی نموده و دقت این طبقه‌بندی کننده با دقت SVM-GA مقایسه شود. همچنین بهتر است این مقایسات در حیطه شیء‌گرا نیز انجام شود زیرا احتمال افزایش دقت به دلیل قدرت تفکیک مکانی بالای داده وجود دارد، همچنین شیء‌گرا به دلیل Shape file شدن هر قطعه، با داده آموزشی کمتری کار خواهد نمود.

## مراجع

- [1] A. Antonarakis, K. S. Richards, and J. Brasington, "Object-based land cover classification using airborne LiDAR," *Remote Sensing of Environment*, vol. 112, pp. 2988-2998, 2008.
- [2] M. Salah, J. Trinder, A. Shaker, M. Hamed, and A. Elsagheer, "Aerial images and lidar data fusion for automatic feature extraction using the self-organizing map (som) classifier," in *proceedings of the 38th ISPRS Congress-XXXVIII, Part 3/W8*, 2009, pp. 1-2.
- [3] L. Gong, Y. Zhang, Z. Li, and Q. Bao, "Automated road extraction from LiDAR data based on intensity and aerial photo," in *Image and Signal Processing (CISP), 2010 3rd International Congress on*, 2010, pp. 2130-2133.
- [4] F. Samadzadegan, B. Bigdeli, and P. Ramzi, "A multiple classifier system for classification of LIDAR remote sensing data using multi-class SVM," in *Multiple classifier systems*, ed: Springer, 2010, pp. 254-263.
- [5] G. Wang, Y. Zhang, J. Li, and P. Song, "3D road information extraction from LIDAR data fused with aerial-images," in *Spatial Data Mining and Geographical Knowledge Services (ICSDM), 2011 IEEE International Conference on*, 2011, pp. 362-366.
- [6] G. M. Foody and A. Mathur, "A relative evaluation of multiclass image classification by support vector machines," *Geoscience and Remote Sensing, IEEE Transactions on*, vol. 42, pp. 1335-1343, 2004.
- [7] F. Melgani and L. Bruzzone, "Classification of hyperspectral remote sensing images with support vector machines," *Geoscience and Remote Sensing, IEEE Transactions on*, vol. 42, pp. 1778-1790, 2004.
- [8] M. Pal and P. Mather, "Support vector machines for classification in remote sensing," *International Journal of Remote Sensing*, vol. 26, pp. 1007-1011, 2005.
- [9] B. Waske and J. A. Benediktsson, "Fusion of support vector machines for classification of multisensor data," *Geoscience and Remote Sensing, IEEE Transactions on*, vol. 45, pp. 3858-3866, 2007.



- [10] S. Moustakidis, G. Mallinis, N. Koutsias, J. B. Theocharis, and V. Petridis, "SVM-based fuzzy decision trees for classification of high spatial resolution remote sensing images," *Geoscience and Remote Sensing, IEEE Transactions on*, vol. 50, pp. 149-169, 2012.
- [11] M. Dalponte, L. Bruzzone, and D. Gianelle, "Fusion of hyperspectral and LIDAR remote sensing data for classification of complex forest areas," *Geoscience and Remote Sensing, IEEE Transactions on*, vol. 46, pp. 1416-1427, 2008.
- [12] T. G. Jones, N. C. Coops, and T. Sharma, "Assessing the utility of airborne hyperspectral and LiDAR data for species distribution mapping in the coastal Pacific Northwest, Canada," *Remote Sensing of Environment*, vol. 114, pp. 2841-2852, 2010.
- [13] J. Trinder and M. Salah, "Support Vector Machines: Optimization and validation for land cover mapping using aerial images and lidar data," *Laser*, vol. 1, p. 1.047, 2011.
- [14] B. Waske and M. Braun, "Classifier ensembles for land cover mapping using multitemporal SAR imagery," *ISPRS Journal of Photogrammetry and Remote Sensing*, vol. 64, pp. 450-457, 2009.
- [15] ا. زارع, "استخراج و بازسازی سه بعدی عارضه ساختمان با تلفیق داده‌های اپتیکی و لیدار," پایان نامه کارشناسی ارشد, دانشکده مهندسی نقشه برداری (ژئودزی و ژئوماتیک), دانشگاه صنعتی خواجه نصیر الدین طوسی, ۱۳۹۲.
- [16] ا. سرمدیان, "تلفیق داده‌های لیدار و تصاویر با قدرت تفکیک بالا جهت استخراج ساختمان با تأکید بر استفاده همزمان از ویژگی‌های طیفی، بافتی و هندسی عوارض," پایان نامه کارشناسی ارشد, دانشکده مهندسی نقشه برداری (ژئودزی و ژئوماتیک), دانشگاه خواجه نصیر الدین طوسی, ۱۳۹۳.
- [17] A. McAndrew, "An introduction to digital image processing with matlab notes for scm2511 image processing," *school of computer science and Mathematics, Victoria university of technology*, pp. 1-264, 2004.